ՀԱՅԱՍՏԱՆԻ ԳԻՏՈՒԹՅՈՒՆՆԵՐԻ ԱԶԳԱՅԻՆ ԱԿԱԴԵՄԻԱՅԻ ՏԵՂԵԿԱԳԻՐ

ИЗВЕСТИЯ НАЦИОНАЛЬНОЙ АКАДЕМИИ АРМЕНИИ

Մեխանիկա

50, N 2, 1997

Механика

МАЛОНАПРЯЖЕННОЕ СОСТОЯНИЕ ЦИЛИНДРИЧЕСКИ ОРТОТРОПНОГО СОСТАВНОГО ЛИНЕЙНО-УПРУГОГО КЛИНА ПРИ ПЛОСКОЙ ДЕФОРМАЦИИ

Акопян А.Г.

Ա.Գ.Հակոթյան Օրթոտրոպ - թաղադրյալ գծային առաձգական սեպի թերյարվածային վիճակը հարթ ղևֆորմացիայի ղեպքում

Դիտարկվում է գծային առաձգական. անիզոտրոպ նյութերից բաղադրյալ սեպի կոնտակուային մակերևույթի եզրի թերլարվածության խնդիրը հարթ դեֆորմացիայի ղեպքում։ Նյութը համարվում է գլանային օրթոտրոպ Անիզոտրոպիայի գլխավոր առանցքները համընկնում են գլանային կոորդինատների համակարգի առանցքների հետ, որի սկիզբը գտնվում է սեպի զագաթին

Ցուից է տրված անիզոտրոպիայի ազդեցությունը քերլարվածության տիրույթների վրա։

A.G Hakobian Low-stress level of a linearly clastic orthotropic-compound wedges under plane strain

Рассматривается задача малонапряженности на крас контактной поверхности заплот ронного составного клина из линейно упругих материадов при илоской деформации. Материад считается пилиндически ортогронным. Гланиас оси анилотронии совъздают с осими цилиндрической системы координат, начало которой помещено и веримие клина. Повазано влияще анилотронии на доны мадонапряженности.

Рассматривается задача малонапряженности на крае контактной по верхности анизотронного составного клива на линейно упругих матерна лов при плоской деформации. Явление малонапряженности впервые исследовано в работе [1]. Исследование напряженного состояния окрестности угловой точки поверхности соединения составного тела проведено также в работах [2,7] п ряд других.

1. Основные уравнения задачи. Пусть клип, состоящий из двух спаянных между собой по общей части боковых поверхностей двух цилиндрических тел с различными характеристиками упругости, находится в состоянии плоской деформации. Оба тела обладают свойством цилиндрической ортотропии. В угловой точке контактной поверхности поместим начало цилиндрической системы координат, ось $\theta = 0$ проведем по контактной поверхности, ось z - по продольному

направлению. Главные оси анизотронии совпадают с этими осями Принимаем, что в окрестности угловой точки г=0 внешние боковые грани свободны от нагрузок. На фиг.1 показано поперечное сечение этого тела.



Для цилиндрически ортотронного тела лакон Гука при плоской деформации имеет вид [8] $\varepsilon_{r} = \beta_{11}\sigma_{r} + \beta_{12}\sigma_{\theta}$

$$\begin{aligned}
\varepsilon_{i} &= \beta_{i1} \sigma_{i} + \beta_{i2} \sigma_{\theta} \\
\varepsilon_{0} &= \beta_{i1} \sigma_{i} + \beta_{i2} \sigma_{\theta}, \quad \gamma_{i0} &= \beta_{i0} \tau_{i0}
\end{aligned} \tag{1}$$

где β_a приведенные упругие характеристики, вы ражающиеся через технические упругие констан

$$\beta_{t1} = \frac{1 - v_{ct}v_{cr}}{E_r},$$
 $\beta_{t1} = -\frac{v_{r\theta} + v_{cr}v_{r\theta}}{E_r}$

$$\beta_{22} = \frac{1 - v_{rc}v_{2r}}{E_r},$$
 $\beta_{66} = \frac{1}{G_r}$

Компоненты напряжений через функцию напряжений Эри полярных координатах выражаются формулами

$$\sigma_{r} = \frac{1}{r} \frac{\partial F}{\partial r} + \frac{1}{r^{2}} \frac{\partial^{2} F}{\partial \theta^{2}}, \quad \sigma_{\theta} = \frac{\partial^{2} F}{\partial r^{2}}, \quad \tau_{r\theta} = -\frac{\partial^{2}}{\partial r \partial \theta} \left(\frac{F}{r}\right)$$
 (2)

а для О, имеем

$$\sigma_{\cdot} = v_{ii}\sigma_{i} + v_{i\theta}\sigma_{\theta} \tag{3}$$

Функция папряжений $F(r,\theta)$ при плоской деформации удовлетворяет следующему дифференциальному уравнению [8]:

$$a_{1} \frac{\partial^{4} F}{\partial r^{4}} + a_{4} \frac{1}{r^{2}} \frac{\partial^{4} F}{\partial r^{2} \partial \theta^{2}} + a_{1} \frac{1}{r^{4}} \frac{\partial^{4} F}{\partial \theta^{4}} + 2a_{1} \frac{1}{r} \frac{\partial^{3} F}{\partial r^{3}} -$$

$$-a_{5} \frac{1}{r^{3}} \frac{\partial^{3} F}{\partial r \partial \theta^{2}} - a_{1} \frac{1}{r^{2}} \frac{\partial^{2} F}{\partial r^{4}} + (2a_{1} + a_{5}) \frac{1}{r^{4}} \frac{\partial^{2} F}{\partial \theta^{2}} + a_{1} \frac{1}{r^{3}} \frac{\partial F}{\partial r} = 0$$

$$r_{21} e_{1} a_{1} = \beta_{11}, \quad a_{3} = \beta_{22}, \quad a_{5} = 2\beta_{12} + \beta_{66}$$

$$(4)$$

2. Граничные условия. Величины, соответствующие клину с углом α , обозначим индексом i=1, а с углом β — индексом i=2 В урависинях (1) (4) индекс і отнущен.

Отсутствие нагрузок на внешних поверхностях клина в окрестности точки r = 0 приводит к условиям

$$F_i(r,\alpha) = 0, \qquad \frac{\partial F_i}{\partial \theta}\bigg|_{\theta = \alpha} = 0$$

$$F_{2}(r,-\beta) = 0, \qquad \frac{\partial F_{2}}{\partial \theta}\Big|_{\theta=-\beta} = 0$$
 (5)

Из непрерывности напряжений на контактной поверхности $oldsymbol{ heta}=0$ следует

$$F_1 = (r,0) = F_2(r,0), \qquad \frac{\partial F_1}{\partial \theta}\Big|_{\theta=0} = \frac{\partial F_2}{\partial \theta}\Big|_{\theta=0}$$
 (6)

Условия непрерывности перемещений на контактной поверхности заменяются эквивалентными условиями [1,6]

$$\left. \frac{\partial u^{(1)}}{\partial r} \right|_{\theta=0} = \left. \frac{\partial u^{(2)}}{\partial r} \right|_{\theta=0} \qquad \left. \frac{\partial^2 v^{(1)}}{\partial r^2} \right|_{\theta=0} = \left. \frac{\partial^2 v^{(2)}}{\partial r^2} \right|_{\theta=0}$$

последние два условия можем выразить через функции напряжений F_i при $\theta=0.$

$$\beta_{11}^{(1)} \left(\frac{1}{r} \frac{\partial F_1}{\partial r} + \frac{1}{r^2} \frac{\partial^2 F_1}{\partial \theta^2} \right) + \beta_{12}^{(1)} \frac{\partial^2 F_1}{\partial r^2} = \beta_{11}^{(3)} \left(\frac{1}{r} \frac{\partial F_2}{\partial r} + \frac{1}{r} \frac{\partial^2 F_2}{\partial \theta^2} \right) + \beta_{12}^{(2)} \frac{\partial^2 F_2}{\partial r^2}, \quad (7)$$

$$\beta_{id}^{(i)} \left(\frac{1}{r^3} \frac{\partial F_i}{\partial \theta} - \frac{1}{r^3} \frac{\partial^2 F_i}{\partial r \partial \theta} + \frac{1}{r} \frac{\partial^3 F_i}{\partial r^2 \partial \theta} \right) + \beta_{ii}^{(i)} \left(\frac{1}{r^3} \frac{\partial^2 F_i}{\partial r \partial \theta} + \frac{1}{r} \frac{\partial^3 F_i}{\partial \theta} \right) + \beta_{i2}^{(i)} \frac{1}{r} \frac{\partial^3 F_i}{\partial r^2 \partial \theta} =$$

$$\beta_{id}^{(2)} \left(\frac{1}{r^3} \frac{\partial F_2}{\partial \theta} - \frac{1}{r^3} \frac{\partial^2 F_2}{\partial r \partial \theta} + \frac{1}{r} \frac{\partial^3 F_2}{\partial r^2 \partial \theta} \right) + \beta_{i1}^{(2)} \left(\frac{1}{r^2} \frac{\partial^2 F_2}{\partial r \partial \theta} + \frac{1}{r^3} \frac{\partial^3 F_2}{\partial \theta^3} \right) + \beta_{i2}^{(2)} \frac{1}{r} \frac{\partial^3 F_2}{\partial r^2 \partial \theta}$$

$$(8)$$

3. Решение задачи и основные результаты. Следуя Вильямсу [4] функцию напряжений в окрестности точки r=0 представим в виде

$$F_{i}(r,\theta) = r^{\lambda+1} f_{i}(\theta,\lambda) \tag{9}$$

Из уравнення (4), для каждой на областей клина, следует $a_1^{(i)} f_1^{(i)} + (\lambda^2 a_3^{(i)} + 2a_1^{(i)}) f_1^{(i)} + \left[\lambda^4 a_3^{(i)} - \lambda^2 (a_3^{(i)} + a_1^{(i)}) + a_1^{(i)}\right] f_i = 0$ (10)

Общее решение (10) можно представить в виде $f_{,}(\theta,\lambda) = A_{,} \operatorname{ch} \varepsilon_{,} \theta \cos \eta_{,} \theta + B_{,} \operatorname{sh} \varepsilon_{,} \theta \cos \eta_{,} \theta + C_{,} \operatorname{ch} \varepsilon_{,} \theta \sin \eta_{,} \theta + D_{,} \operatorname{sh} \varepsilon_{,} \theta \sin \eta_{,} \theta$ (11)

где \mathcal{E}_i , η_i определяются из соотношения $z=\pm(\mathcal{E}_i\pm i\eta_i)=$

$$=\pm\sqrt{\frac{-\lambda^2 a_5^{(i)} - 2a_1^{(i)} \pm \sqrt{\lambda^4 (a_5^{(i)2} - 4a_1^{(i)}a_3^{(i)}) + 4\lambda^2 (a_1^{(i)}a_5^{(i)} + a_1^{(i)}a_3^{(i)} + a_1^{(i)2})}}{2a_1^{(i)}}}$$
 (12)

С помощью (11), удовлетворив восьми граничным условиям (5) (8), получим следующую систему линейных однородных уравнений относительно восьми A_i , B_i , C_i , D_i коэффициентов:

$$\begin{split} A_{1}-A_{2}&=0,\quad \varepsilon_{1}B_{1}+\eta_{1}C_{1}-\varepsilon_{2}B_{2}-\eta_{2}C_{2}=0\\ \omega_{1}^{(1)}(\alpha)A_{1}+\omega_{2}^{(1)}(\alpha)B_{1}+\omega_{1}^{(1)}(\alpha)C_{1}+\omega_{4}^{(1)}(\alpha)D_{1}=0\\ \omega_{1}^{(2)}(\beta)A_{2}+\omega_{2}^{(2)}(\beta)B_{2}+\omega_{3}^{(2)}(\beta)C_{2}+\omega_{4}^{(2)}(\beta)D_{2}=0\\ p_{1}A_{1}+2\beta_{11}^{(1)}\varepsilon_{1}\eta_{1}D_{1}-p_{2}A_{2}-2\beta_{11}^{(2)}\varepsilon_{12}\eta_{2}D_{2}=0\\ \mathrm{ch}\varepsilon_{1}\alpha\cos\eta_{1}\alpha A_{1}+\mathrm{sh}\varepsilon_{1}\alpha\cos\eta_{1}\alpha B_{1}+\mathrm{ch}\varepsilon_{1}\alpha\sin\eta_{1}\alpha C_{1}+\mathrm{sh}\varepsilon_{1}\alpha\sin\eta_{1}\alpha C_{1}=0\\ \mathrm{ch}\varepsilon_{21}\beta\cos\eta_{21}\beta A_{2}-\mathrm{sh}\varepsilon_{2}\beta\cos\eta_{2}\beta B_{2}-\mathrm{ch}\varepsilon_{2}\beta\sin\eta_{2}\beta C_{2}+\mathrm{sh}\varepsilon_{2}\beta\sin\eta_{2}\beta D_{2}=0\\ \beta_{11}^{(1)}(\varepsilon_{1}^{2}-\eta_{1}^{2})A_{1}+\varepsilon_{1}\eta_{1}B_{1}+\eta_{1}\eta_{1}C_{1}+2\beta_{11}^{(1)}\varepsilon_{1}\eta_{1}D_{1}-\beta_{11}^{(2)}(\varepsilon_{2}^{2}-\eta_{2}^{2})A_{2}-\\ -\varepsilon_{2}\eta_{1}B_{2}-\eta_{1}\eta_{2}C_{1}-2\beta_{11}^{(2)}\varepsilon_{1}\eta_{2}D_{2}=0 \end{split}$$

В уравнениях системы (13) приняты следующие обозначения. $\omega_1^{(i)}(x) = \varepsilon_i \text{sh} \varepsilon_i x \cos \eta_i x - \eta_i \text{sh} \varepsilon_i x \sin \eta_i x, \quad \omega_2^{(i)}(x) = \varepsilon_i \text{ch} \varepsilon_i x \cos \eta_i x - \eta_i \text{sh} \varepsilon_i x \sin \eta_i x, \\ \omega_1^{(i)}(x) = \varepsilon_i \text{sh} \varepsilon_i x \sin \eta_i x + \eta_i \text{ch} \varepsilon_i x \cos \eta_i x, \quad \omega_1^{(i)}(x) = \varepsilon_i \text{ch} \varepsilon_i x \sin \eta_i x + \eta_i \text{sh} \varepsilon_i x \cos \eta_i x, \\ \rho_i = \beta_0^{(i)}(\lambda + 1 + \varepsilon_i^2 - \eta_i^2) + \beta_0^{(i)} \lambda(\lambda + 1), \quad q_i = \beta_0^{(i)} + (\lambda + 1) \lambda(\beta_0^{(i)} + 1) + \beta_0^{(i)} - 1].$

Для существования нетривнального решения однородной системы (13) линейных алгебранческих уравнений относительно коэффициентов A_i , B_i , C_i , D_i необходимо, чтобы определитель этой системы равнялся нулю

$$\Delta(\lambda, \alpha, \beta, \varepsilon_{\star}, \eta_{\star}) = 0 \tag{14}$$

Если параметры анизотропни такие, что взамен (12) имеет место соотношение

$$z = \pm ib_k^{(i)} \tag{15}$$

то общее решение (10) будет иметь вид

$$f_{i}(\theta, \lambda) = A_{i} \cos b_{1}^{(i)} \theta + B_{i} \sin b_{1}^{(i)} \theta + C_{i} \cos b_{2}^{(i)} \theta + D_{i} \sin b_{2}^{(i)} \theta$$
 (16)

С помощью (16), удовлетворив граничным условиям (5)-(8), взамен (13) будем иметь следующую систему липейных однородных уравнений относительно восьми A_i , B_i , C_i , D_i коэффициентов:

$$\begin{split} \cos b_{1}^{(1)}\alpha A_{1} + \sin b_{1}^{(1)}\alpha B_{1} + \cos b_{2}^{(1)}\alpha C_{1} + \sin b_{2}^{(1)}\alpha D_{1} &= 0 \\ b_{1}^{(1)}\sin b_{1}^{(1)}\alpha A_{1} - b_{1}^{(1)}\cos b_{1}^{(1)}\alpha B_{1} + b_{2}^{(1)}\sin b_{1}^{(1)}\alpha C_{1} - b_{2}^{(1)}\cos b_{2}^{(1)}\alpha D_{1} &= 0 \\ \cos b_{1}^{(2)}\beta A_{2} - \sin b_{1}^{(2)}\beta B_{2} + \cos b_{2}^{(2)}\beta C_{2} + \sin b_{2}^{(2)}\beta D_{1} &= 0 \\ b_{1}^{(2)}\sin b_{1}^{(2)}\beta A_{2} + b_{1}^{(2)}\cos b_{1}^{(2)}\beta B_{2} + b_{2}^{(2)}\sin b_{2}^{(2)}\beta C_{2} - b_{2}^{(2)}\cos b_{2}^{(2)}\beta D_{2} &= 0 \\ A_{1} + C_{1} - A_{2} - C_{2} &= 0 \\ b_{1}^{(1)}B_{1} + b_{2}^{(1)}D_{1} - b_{1}^{(2)}B_{2} - b_{2}^{(2)}D_{2} &= 0 \\ \omega_{11}A_{1} + \omega_{21}C_{1} - \omega_{12}A_{2} - \omega_{22}C_{2} &= 0 \\ b_{1}^{(1)}q_{11}B_{1} + b_{2}^{(1)}q_{21}D_{1} - b_{1}^{(2)}q_{12}B_{2} - b_{2}^{(2)}q_{22}D_{2} &= 0 \end{split}$$

где обозначено

$$\begin{aligned} \omega_{k_1} &= \beta_{11}^{(i)}(\lambda + 1) - \beta_{11}^{(i)}b_k^{(i)} + \beta_{12}^{(i)}\lambda(\lambda + 1), \\ q_{k_1} &= \beta_{12}^{(i)}\lambda(\lambda + 1) + \beta_{66}^{(i)}\lambda^2 + \beta_{11}^{(i)}(\lambda + 1 - b_1^{(i)2}) \end{aligned}$$

Для существования нетривнального решения (17) необходимо, чтобы определитель этой системы равнялся нулю

$$\Delta(\lambda, \alpha, \beta, b_{i}^{(l)}) = 0 \tag{18}$$

Из (2) и (9) следует, что если $0 < \text{Re } \lambda_1 < 1$, то при приближении к краю поверхности соединения ($r \to 0$) напряжения неограничению воз растают, при этом порядок особенности равен $|\text{Re } \lambda_1|$. А если $|\text{Re } \lambda_1| > 1$, напряжения убывают до нуля при приближении к вершине угла.

Таким образом, исследование характера напряженного состояния в окрестности края поверхности соединения составного анизотропного тела при плоской деформации приводится к отысканию кория λ трансцендентного уравнения (14) пли (18) с наименьшей положительной действительной частью для фиксированных углов и механических характеристик соединяемых материалов.

Численные расчеты проведены для различных групп значений нараметров анизотронин:

1.
$$v_{rt}^{(1)} = v_{rt}^{(2)} = 0.3$$
; $v_{rt}^{(1)} = v_{rr}^{(2)} = 0.2$; $v_{rt}^{(1)} = v_{rt}^{(2)} = v_{rt}^{(1)} = v_{rt}^{(2)} = 0.25$; $v_{rt}^{(1)} = v_{rt}^{(2)} = 0.35$; $E_r^{(1)} = E_{rt}^{(1)} = 10^5$; $E_r^{(2)} = E_{rt}^{(2)} = 16 \cdot 10^5$; $(\gamma = 16)$; $G_{rt}^{(0)} = E_{rt}^{(0)} / 2(1 + v_{rt}^{(0)})$. II. $E_r^{(1)} = E_{rt}^{(1)} = 2 \cdot 10^5$; $E_r^{(2)} = E_{rt}^{(2)} = 10^5$; $(\gamma = 1/2)$ остальные

II. $E_r^{(1)} = E_\theta^{(1)} = 2 \cdot 10^5$; $E_r^{(2)} = E_\theta^{(2)} = 10^5$; $(\gamma = 1/2)$ остальные нараметры имеют такие же значения, как в 1). случае.

III.
$$E_i^{(1)} = 2 \cdot 10^5$$
; $E_i^{(2)} = 10^5$; $(\gamma = 1/2)$; $G_{r\theta}^{(r)} = \frac{E_r^{(r)}}{2(1 + v_{rz}^{(r)})} (v_{rk}^{(r)} = 0.3)$

паотропный сдучай)

IV.
$$E_j^{(1)} = 10^4$$
; $E_j^{(2)} = 16 \cdot 10^5$; $(\gamma = 16)$; $G_{i\theta}^{(r)} = \frac{E_{i\theta}^{(r)}}{2(1 + V_{i\theta}^{(r)})}$

($v_{ik}^{(r)} = 0,3$ наотропный случай)

V.
$$E_r^{(1)} = E_\theta^{(1)} = 2 \cdot 10^5$$
; $E_r^{(2)} = E_\theta^{(2)} = 10^5$; $(\gamma = 1/2)$;

$$G_{e0}^{(i)} = 0.4 \frac{E_e^{(i)}}{(1 + V_{gr}^{(i)})}; V_{jt}^{(i)}$$
 - Kak b l.

VI.
$$E_{_{J}}^{(1)}=E_{_{J}}^{(2)}=10^{\circ}$$
 ($\gamma=1$ однородное тело).

$$G_{r\theta}^{(i)} = 0.4 \frac{E_r^{(i)}}{(1 + v_{fc}^{(i)})}; \ v_{jk}^{(i)}$$
 - Kak b I.

VII.
$$E_{j}^{(1)}=E_{j}^{(2)}=10^{5}$$
 ($\gamma=1$ однородное тело),
$$G_{i\theta}^{(r)}=0.75\frac{E_{i}^{(1)}}{\left(1+v_{it}^{(r)}\right)};\; v_{jt}^{(r)}$$
- как в 1.
$$VIII.\; E_{r}^{(1)}=E_{\theta}^{(1)}=2\cdot10^{5};\; E_{r}^{(23)}=E_{\theta}^{(2)}=10^{5};\; (\gamma=1/2);$$

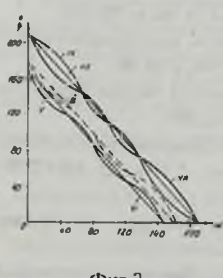
$$G_{i\theta}^{(1)}=0.75\frac{E_{r}^{(1)}}{\left(1+v_{jc}^{(r)}\right)};\; v_{jc}^{(r)}$$
- как в 1.
$$IX.\; E_{j}^{(1)}=E_{j}^{(2)}=10^{5};\; E_{r}^{(2)}=E_{\theta}^{(2)}=2\cdot10^{5};\; (\gamma=2);$$

$$G_{r\theta}^{(1)}=0.75\frac{E_{r}^{(1)}}{\left(1+v_{it}^{(1)}\right)};\; v_{jk}^{(r)}$$
- как в 1.
$$3\mathrm{десь}\,\gamma=E_{j}^{(2)}\left/E_{j}^{(1)};\; i=1,2;\; j=r,\theta;\; k=r,\theta,z\;, a\;E,G\;$$
 даны в МПа.

Во всех численных расчетах учтено замечание Фойгта на счет равенства $E_{\theta}^{(i)} = E_{\theta}^{(i)}$ [8]

Результаты численных расчетов приведены в табл. 1.

Можем построить кривые, которые при фиксированных значениях механических характеристик материалов, на плоскости lphaeta, разделяют области конечных и бесконечных напряжений [13]. Предполагая, что вблизи границы области высокой концентрации напряжений наимень ший корень уравнения (18) действительный, поставим в нем $\lambda = 1$ и найдем наименьшие положительные значения углов lpha и eta в зависи мости от параметров апизотронии. Отметим, что предварительно освободились от трехкратного кория $\lambda = 1$ этого уравнения. Для этого все элементы четвертой и восьмой столбцов разделили на $b_{z}^{(t)}$. Тогда элементы a_{14} и a_{34} определителя (18) превращаются в неопределен ность тина 0/0. Переходя к пределу при $\lambda \to 1$ ($b_1^{(i)} \to 0$) получим $a_{14}=\alpha$, $a_{18}=-eta$. Геометрические места найденных таким образом



Our 2

точек в плоскости lphaeta образуют те предельные кривые, которые разделяют концентрацион ную область (выше кривых от областей мало напряженности (ниже кривых) (фиг.2). Для точек этих кривых численным анализом про обоснованность вышеупомянутого предположения [3]. При обнаружении коми лексных корней в (18) полагаем $\text{Re } \lambda = 1$ Из графиков и таблицы видно, что зона мало напряженности может увеличинаться или уменьшаться в зависимости от характеристик анизотронни.

α*	λ				
	1 1	11	111	IV	V
10	1,166	0.94	0,913	1.116	0,82
20	1,34	0.91	0.882	1,26	0.79
30	1,57	0,91	0,733	1.12	0.80
40	1,33	0,95	0,921	1,30	0.82
50	1,118	1.01	0,968	1.10	0.86
60	0,97	1,06	0,846	0.98	0.89
70	88,0	1,06	1,018	0.86	0.90
80	0.81	1,02	0,992	0.80	0.88
90	0.78	1,00	0,964	0.77	0,86
100	0.77	0.97	0,94	0.76	0.85
110	0.79	0,98	0,95	0.77	0.86
120	0,86	1,01	0,986	0.84	0.88
130	0,95+0.11	1,06	1,01	0,93+0,081	0,92
140	0,86	1,13	1,09	0.83	0.97
150	0,75	1,17	1,129	0.73	0.991
160	0.68	1,15	1.1	0.66	0.97
170	0,66	1.10	1,05	0.64	0.93

ЛИТЕРАТУРА

- Чобанян К.С. Напряжения в составных упругих телах. Ереван: Изд.-во АН Армении, 1987. 338с.
- Задоян М.А. Пространственные задачи теории пластичности. М.: Наука, 1992. 382c.
- Аксентян О.К., Лущик О.Н. Об условиях ограниченности напряже ний у ребра составного // Изв. АН СССР. МТТ, 1978. N5, с. 102-108.
- Williams M.L. Stress singularities resulting from various boundary conditions in angular corners of extention //J.Appl.Mech., 1952, vol. 19, N4, pp. 526-528.
- 5. Аконян А.Г., Задоян М.А. Малонапряженность пеоднородно составных клиньев // Изв. Росс. АН. МТТ. 1992. N5, с.88-96.
- Саркисян В.С. Некоторые задачи математической теории упругости анизотронных тел. Ереван: Изд. во ЕГУ, 1976.536с.
- Теворгян С.Х. Исследование особенностей решений в некоторых задачах теории упругости анизотропных тел //Изв. АН Арм. ССР. Механика, 1968, Т.21, N4, с.30-39.
- Яехинцкий С.Г. Теория упругости анизотропного тела. -М. Наука. 1977. 416с.

Институт механики НАН Армении Поступила в редакцию 28.02.1995